

# Parietální atrofie na magnetické rezonanci mozku u Alzheimerovy nemoci s pozdním začátkem

Magnetic resonance imaging showing parietal atrophy of the brain in late-onset Alzheimer's disease

## Souhrn

**Cíl:** Naším záměrem bylo posoudit, zda by se při diagnostice Alzheimerovy nemoci s pozdním začátkem dalo využít skórování parietální atrofie na MR mozku pomocí jednoduché vizuální metodiky označené zkratkou PAS (Parietální atrofický skór). **Soubor a metody:** Strukturu parietálních laloků jsme hodnotili námi vyvinutou vizuální škálou PAS, která je založena na semikvantitativním skórování atrofie tří struktur v parietální oblasti: sulcus cingularis posterior, precuneus a parietální gyry. Parietální atrofie byla posuzována u 24 pacientů s Alzheimerovou nemocí s pozdním začátkem ve stadiu mírné demence (Mini-Mental State Examination; MMSE  $21 \pm 3$  body) a 26 věkově vázaných jedinců s normálním výsledkem testu kognitivních funkcí (MMSE  $29 \pm 1$  bod). **Výsledky:** Podle vizuální škály PAS nebyl prokázán statisticky významný rozdíl ve velikosti žádné z hodnocených struktur pravého ani levého parietálního laloku mezi pacienty s Alzheimerovou nemocí a kontrolními jedinci (ve všech případech  $p > 0,05$ ). **Závěr:** Během Alzheimerovy nemoci s pozdním začátkem nedochází do stadia mírné demence k výraznějšímu úbytku parietální kůry, než by odpovídalo běžnému stárnutí. Parietální atrofie hodnocená podle metodiky PAS není vhodným ukazatelem, který by se dal využít při diagnostice počátečních stadií Alzheimerovy nemoci s pozdním začátkem.

## Abstract

**Aim:** Our intention was to assess whether a scoring of parietal atrophy on MRI of the brain using a simple visual assessment named PAS (Parietal Atrophy Score) could be used in the diagnosis of late-onset Alzheimer's disease. **Patients and methods:** The structure of the parietal lobes was evaluated by our visual scale named PAS, which is based on semiquantitative scoring of atrophy of three structures in the parietal region: sulcus cingularis posterior, precuneus and parietal gyri. Parietal atrophy was assessed in 24 patients with late-onset Alzheimer's disease in the stage of mild dementia (Mini-Mental State Examination; MMSE  $21 \pm 3$  points) and 26 age-matched individuals with normal scores on the MMSE ( $29 \pm 1$  point). **Results:** We did not find any statistically significant difference in the size of any structure of the right and left parietal lobe according to the PAS visual scale between control individuals and patients with Alzheimer's disease ( $p > 0.05$  in all cases). **Conclusion:** During late-onset Alzheimer's disease there is no significant reduction of parietal cortex until the stage of mild dementia compared to normal aging. Parietal atrophy evaluated according to the PAS visual scale is not an appropriate marker to be used in the diagnosis of late-onset Alzheimer's disease in mild stages.

Práce byla podpořena projekty NV18-07-00272, 260388/SVV/2018, PROGRES Q35, „Udržitelnost pro Národní ústav duševního zdraví“, č. LO1611, za finanční podpory MŠMT v rámci Národního programu udržitelnosti I (NPU I) a MZ ČR – RVO „Národní ústav duševního zdraví – NUDZ, IČ: 00023752“.

Poděkování náleží kolektivu pracovníků z AD Centra FN Královské Vinohrady za pomoc při sběru dat.

**Autoři deklarují, že v souvislosti s předmětem studie nemají žádné komerční zájmy.**

The authors declare they have no potential conflicts of interest concerning drugs, products, or services used in the study.

**Redakční rada potvrzuje, že rukopis práce splnil ICMJE kritéria pro publikace zasílané do biomedicínských časopisů.**

The Editorial Board declares that the manuscript met the ICMJE "uniform requirements" for biomedical papers.

**D. Šilhán<sup>1,2</sup>, I. Ibrahim<sup>3</sup>, J. Tintěra<sup>3</sup>, A. Bartoš<sup>1,2</sup>**

<sup>1</sup> Neurologická klinika 3. LF UK a FN Královské Vinohrady, Praha

<sup>2</sup> Národní ústav duševního zdraví, Klecany

<sup>3</sup> Institut klinické a experimentální medicíny, Praha



**doc. MUDr. Aleš Bartoš, Ph.D.**  
Neurologická klinika 3. LF UK  
a FN Královské Vinohrady  
Šrobárova 1150/50  
100 34 Praha  
e-mail: ales.bartos@nudz.cz

Přijato k recenzi: 1. 6. 2018

Přijato do tisku: 19. 12. 2018

## Klíčová slova

Parietální atrofický skór – parietální atrofie – magnetická rezonance – Alzheimerova nemoc – demence – stárnutí – sulcus cingularis posterior – precuneus – parietální gyry

## Key words

Parietal Atrophy Score – parietal atrophy – magnetic resonance imaging – Alzheimer's disease – dementia – aging – sulcus cingularis posterior – precuneus – parietal gyri

## Úvod

Posuzování atrofie mozkových struktur na MR přispívá k diagnostice Alzheimerovy nemoci (AN) [1,2]. Nejčastěji jsou hodnoceny mediotemporální oblast a hipokampus. V tomto regionu se převážně využívá vizuální skórování pomocí medial temporal lobe atrophy score (MTA), které je vhodné pro klinickou praxi podle původní studie [3], nedávného souhrnu [4] nebo našich prvňích zkušeností v ČR [5]. Podle řady prací je rychlejší atrofie této oblasti spojena s přechodem mírné kognitivní poruchy do demence u AN [4,6–9]. Hipokampus a mediotemporální region ovšem atrofují i v průběhu normálního stárnutí a u jiných demencí, nejvíce u frontotemporální lobární degenerace [10,11]. Nejedná se tedy o specifický ukazatel AN. Proto je třeba zaměřit pozornost i na jiné oblasti mozku, jejichž atrofie může souviset s AN. Kombinace hodnocení více regionů by mohla zvýšit specifitu pro AN [11].

Naším cílem bylo posoudit, zda je právě parietální oblast tím regionem, jehož atrofie souvisí s AN. Důvodem, proč jsme vybrali parietální lalok, bylo to, že funkční zobrazovací metody, jako jsou PET, perfúzní MR a funkční MR, popisují u pacientů s AN poruchy metabolismu, prokrvení a aktivity v parietální oblasti [12,13]. Zajímalo nás, zda se tyto patologické projevy i na struktuře laloku na MR mozku.

Dalším důvodem našeho zájmu o parietální lalok bylo to, že některé práce poukazují na spojitost mezi parietální atrofií a AN s časným začátkem u jedinců mladších 65 let. Vzácnější AN s časným začátkem se může lišit počínajícími symptomy a také charakteristickým nálezem na MR mozku. U této formy AN je častější výskyt zrakově prostorových a zrakově percepčních poruch v časných stadiích s relativně zachovalou anterográdní epizodickou pamětí, která se zhoršuje až v pokročilejších stadiích choroby [14]. Výsledky některých studií poukazují na čas-

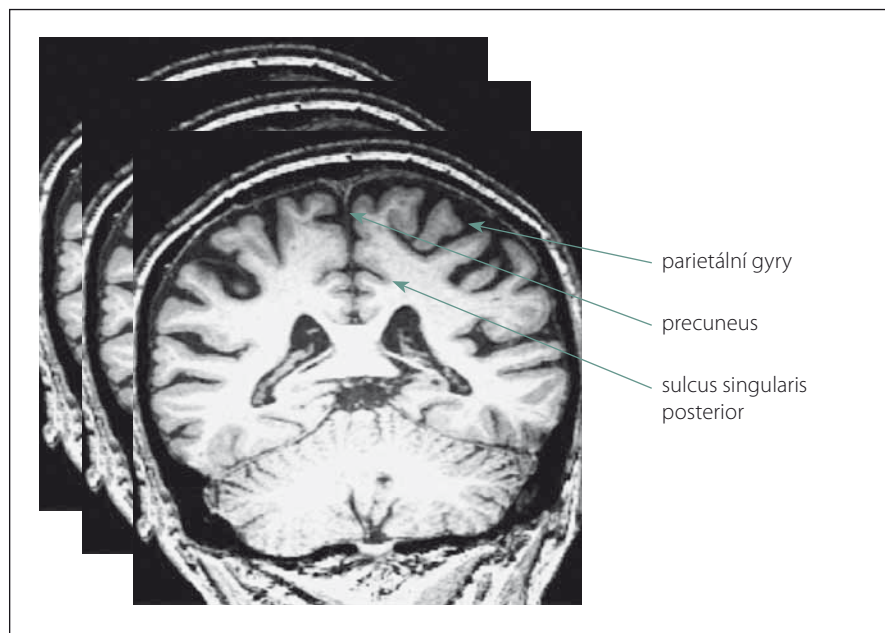
tější výskyt parietální atrofie a zachovalé struktury hipokampu u AN s časným začátkem [11,14–17]. Klasická AN s pozdním začátkem je podstatně častější, a proto by případný nález patologie v parietální oblasti již v časných stadiích mohl významně podpořit diagnostiku tohoto onemocnění.

Rozhodli jsme se tedy posoudit objem parietálních struktur u klasické AN s pozdním začátkem prostřednictvím námi vytvořené vizuální škály Parietální atrofický skór (PAS), která byla představena v naší předchozí práci jako jednoduchá metoda vhodná pro klinickou praxi [18].

## Soubor a metody

K posouzení parietální atrofie na MR mozku jsme využili námi vytvořenou vizuální škálu PAS, která je založena na skórování objemu tří struktur na T1 vážených koronárních řezech v rozsahu celého parietálního laloku. Jedná se o následující oblasti: sulcus singularis posterior, precuneus a parietální gyry (obr. 1). Každá struktura byla skórována semikvantitativně ve třech stupních: 0 – bez atrofie, 1 – hraniční nález nebo 2 – významná atrofie. Na základě námi určených kritérií se z jednotlivých stupňů stanovil výsledný skór zvláště pro pravý a levý lalok (PAS = výsledný skór pravého/levého laloku). Ten může analogicky nabývat hodnot: 0 – lalok bez atrofie, 1 – hraniční nález, 2 – významná atrofie laloku. Nakonec jsme z PAS obou laloků stanovili jeden celkový skór pro celý mozek tzv. PASglob, který může být: 0 – bez atrofie, 1 – hraniční nález, 2 – významná atrofie jednoho laloku nebo 3 – významná atrofie obou laloků. Podrobněji je celá metodika vysvětlena a použita k hodnocení normálního stárnutí v našem předchozím sdělení [18]. Návod k hodnocení PAS jako praktické pomůcky do klinické praxe je uveden v příloze 1 v závěru tohoto sdělení.

Vizuální škálu PAS jsme použili k hodnocení MR mozků ve skupinách 26 starších osob s normálními kognitivními funkcemi a 24 pacientů s mírnou demencí způsobenou AN s pozdním začátkem podle kritérií



Obr. 1. Ilustrace hodnocených oblastí parietálních laloků, které jsou skórovány na sekvenci T1 vážených koronárních řežů MR v rozsahu celých laloků.

Fig. 1. Illustration of the evaluated areas of the parietal lobes, which are scored on multiple T1-weighted coronary MRI images ranging across the entire lobes.

Tab. 1. Demografické charakteristiky a skóry Mini-Mental State Examination (MMSE) u pacientů s Alzheimerovou nemocí s pozdním začátkem a kontrolních osob spárovaných věkem, vzděláním a pohlavím.

Skupina	Počet jedinců	MMSE (počet bodů)	Věk (roky)	Kategorie vzdělání (medián)	Počet let vzdělání (roky)	Pohlaví (počet žen)
pacienti s Alzheimerovou nemocí	24	21 ± 3	74,1 ± 8,3	středoškolské s maturitou	14,0 ± 2,9	16 (66 %)
kognitivně normální osoby	26	29 ± 1	73,0 ± 2,8	středoškolské s maturitou	14,5 ± 3,2	19 (73 %)

National Institute on Aging and Alzheimer's Association [19]. Tyto dvě skupiny byly vybrány z rozsáhlejší databáze tak, aby se nelišily věkem, vzděláním a pohlavím (tab. 1). MR obrazy posuzoval neurolog (DS) s tříletou zkušeností v oblasti hodnocení mozkové atrofie na MR, který je zároveň hlavním tvůrcem PAS. Při prvním použití této metody na skupině 74 kognitivně zdravých jedinců ve věkovém rozmezí 48–87 let bylo zjištěno, že PAS minimálně souvisí s věkem na samé hranici statistické významnosti [18]. Po pěti letech byl u všech kognitivně zdravých osob jejich normální kognitivní statut ověřen dvěma bateriemi – pěti experimentálními krátkými metodami vč. již publikovaných testů POBAV, TEGEST a Testu kreslení hodin se skórováním BaJa [20–22] a dále komplexní neuropsychologickou baterií (testy RAVLT, ROCFT, TMT, WAIS-III) [23].

Pro morfologické účely byly použity trojrozměrné MR obrazy T1W-MPRAGE (T1 vážený obraz Magnetization Prepared Rapid Acquisition Gradient Echo) v sagitální rovině na 3T přístroji Siemens Magnetom Trio (Siemens, Erlangen, Německo) s následujícími parametry: velikost voxelu:  $0,85 \times 0,85 \times 0,85 \text{ mm}^3$ ; počet vrstev: 224; repetiční čas (TR)/echo čas (TE): 2 000/ 4,73 ms; inverzní čas (TI): 800 ms; sklápěcí úhel  $10^\circ$  a čas měření (TA): 10 min. Vlastní hodnocení bylo prováděno na MPR rekonstrukcích v koronální rovině s tloušťkou řezu 0,85 mm.

Účastníci podepsali informovaný souhlas s výzkumem, který byl schválen etickými komisemi FN Královské Vinohrady a Psychiatrického centra Praha.

K porovnání proměnných obou skupin byl použit neparametrický Mann-Whitneyho U test v programu Statistica (StatSoft, Inc., Tulsa, OK, USA). Hladina významnosti byla stanovena na  $p < 0,05$ .

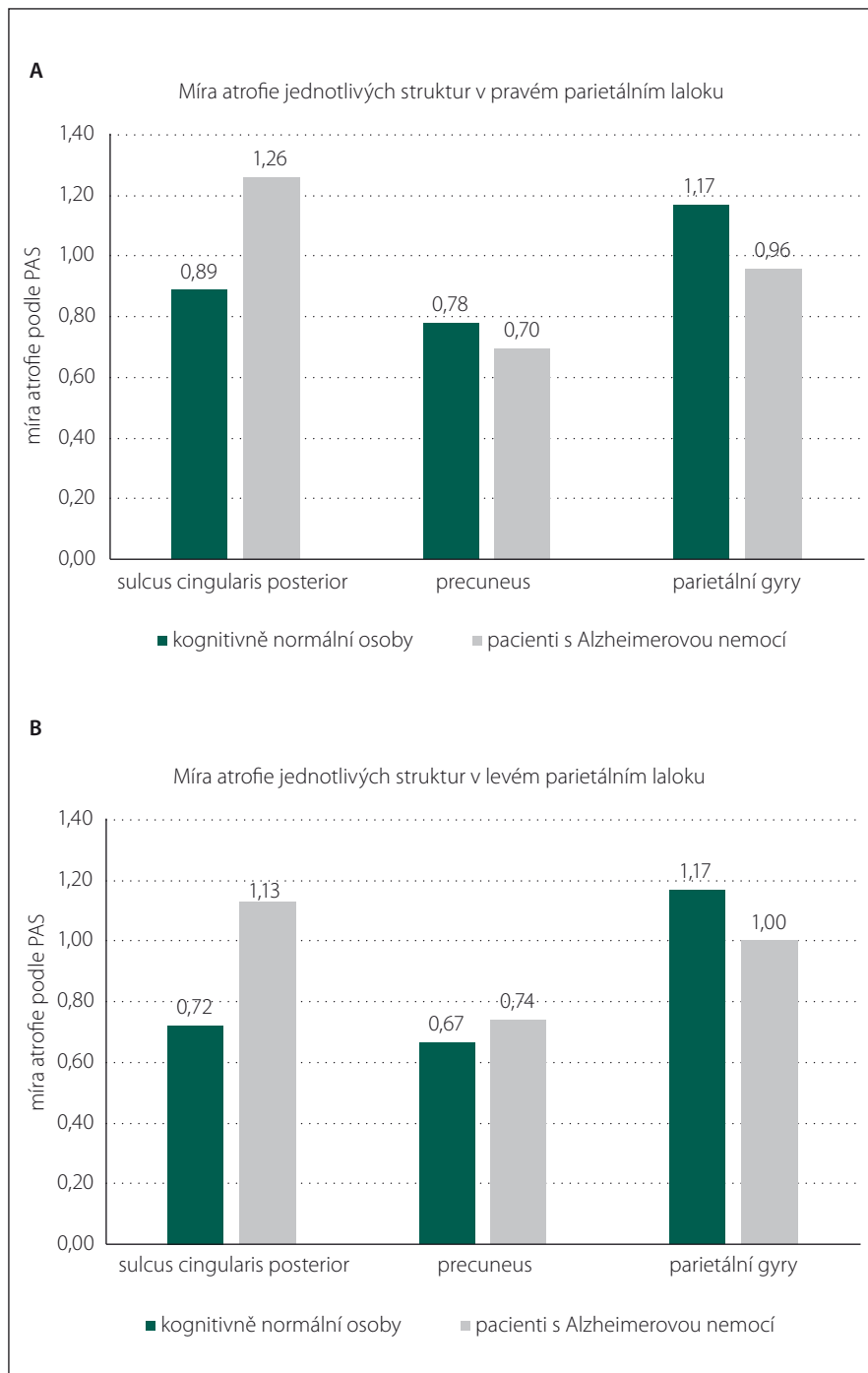
## Výsledky

Tabulka 1 ukazuje demografické údaje a skóry MMSE obou skupin.

Celkový skór PASglob ani výsledné skóry PAS pravého a levého parietálního laloku se statisticky významně nelišily mezi kognitivně normálními osobami a pacienty s mírnou demencí způsobenou AN s pozdním začátkem. Jak ukazují obr. 2A a B, rozdíl mezi skupinami nebyl prokázán ani v atrofiích jednotlivých struktur obou laloků: sulcus cingularis posterior, precuneus, parietální gyry (ve všech případech  $p > 0,05$ ). V oblasti sulcus cingularis posterior v levém parietálním la-

loku byl rozdíl největší, ale opět bez statistické významnosti. Řada kognitivně normálních jedinců měla významnou atrofii

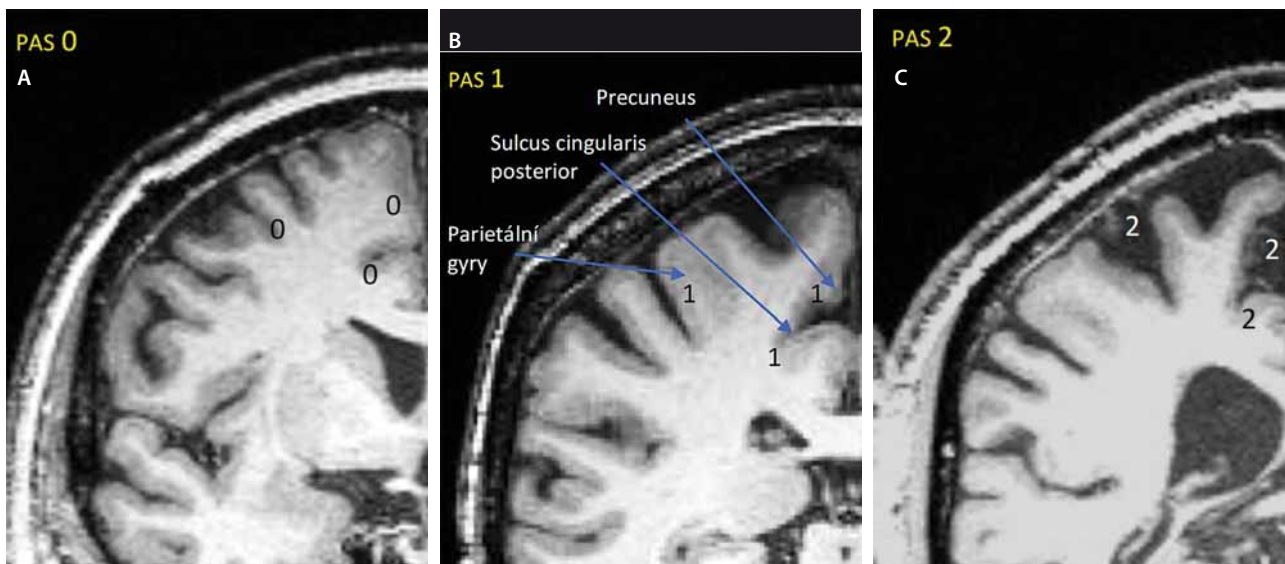
bilaterálně (PASglob = 3). Naopak někteří pacienti s AN neměli atrofii parietálního laloku vůbec (PASglob = 0).



**Obr. 2. Porovnání míry atrofie jednotlivých oblastí (A) pravého a (B) levého parietálního laloku mezi kognitivně normálními osobami a pacienty s mírnou demencí způsobenou Alzheimerovou nemocí s pozdním začátkem. Mezi oběma skupinami nebyl prokazatelný rozdíl v atrofiích žádné ze struktur hodnocených vizuální škálou PAS (Parietální atrofický skór).**

Fig. 2. Comparison of atrophy in individual regions (A) of the right and (B) the left parietal lobe between cognitively normal people and patients with mild dementia due to late-onset Alzheimer's disease. We did not find any difference in atrophy between the two groups in any of the structures evaluated by the PAS (Parietal Atrophy Score) visual scale.

1. Skórování probíhá na všech koronárních řezech od začátku rozvíjení mozečkových hemisfér vpředu až po hranici mezi parietálním a okcipitálním lalokem vzadu.
2. Hodnotí se tři struktury: 1. sulcus cingularis posterior (nejdůležitější), 2. precuneus, 3. parietální gyry.
3. Každou z těchto parietálních struktur skórujete zvlášť na jedné straně stupněm 0 – normální nález bez atrofie (obr. A) nebo 1 – hraniční nález (obr. B) nebo 2 – významná atrofie (obr. C).



4. Z těchto tří stupňů atrofie (pro každou strukturu jeden) stanovte Parietální atrofický skór (PAS) pro jednu hemisféru podle pravidel v tab. A.
5. Nakonec zkombinujte PAS pravé a levé hemisféry do jednoho celkového skóru parietální atrofie (PASglob) pro celý mozek podle pravidel v tab. B.

Tab. A.

Parietální atrofický skór (PAS) vpravo nebo vlevo	Podmínky
0 normální nález bez atrofie	celkový součet atrofie tří struktur je 0 nebo 1
1 hraniční nález	nejsou splněny podmínky pro hodnocení PAS 0 nebo 2 a) precuneus je hodnocen stupněm 2 nebo b) parietální gyry jsou hodnoceny stupněm 2 nebo
2 významná atrofie laloku	c) sulcus cingularis posterior je hodnocen stupněm 2 a zároveň je alespoň jedna další struktura hodnocena stupněm 1

Tab. B.

Parietální atrofický skór (PAS) vpravo/vlevo	Celkový skór (PASglob)
0/0	0 – normální nález bez atrofie
0/1 nebo 1/0	0 – normální nález bez atrofie
1/1	1 – hraniční nález
2/0 nebo 0/2	2 – významná atrofie jednoho parietálního laloku
2/1 nebo 1/2	2 – významná atrofie jednoho parietálního laloku
2/2	3 – významná atrofie obou laloků

Příloha 1. Postup k určení Parietálního atrofického skóru (PAS) na MR mozku.

### Diskuze

Podle našich výsledků není atrofie parietálního laloku známkou časných stadií AN s pozdním začátkem. Tento závěr je ve shodě s výsledky několika studií zabývajících se podobnou té-

matikou, které využily kvantitativní vyhodnocení pomocí voxel-based morfometrie [16,17]. Přidanou hodnotou naší práce je vizuální semikvantitativní přístup v posuzování jednotlivých struktur parietálního laloku, který má

větší potenciál se uplatnit v běžné klinické praxi.

Žádná parietální struktura nevykazovala významný rozdíl mezi skupinami. Jediným nadějným kandidátem by podle našich vý-

sledků mohl být sulcus cingularis posterior, kde byl především v levém laloku detekován poměrně zjevný rozdíl v atrofiích (obr. 2A). Otázka je, zda by se zde signifikantní výsledek prokázal při větším počtu jedinců ve skupinách. Na druhou stranu byli jedinci velmi přísně vybíráni do skupin podle podobných sociodemografických charakteristik, aby- chom možný vliv těchto faktorů odstranili.

Ke shodným výsledkům dospěla i studie využívající podobnou vizuální klasifikaci parietálního laloku tzv. Posterior Atrophy Scale (Koedam scale), která je založena na hodnocení čtyř různých struktur ve třech rovinách MR mozku [24]. Naše jednodušší škála PAS spočívá v posuzování tří struktur pouze v jedné koronární rovině, ve které zároveň probíhá i hodnocení prostřednictvím nejužívanější škály mediotemporální atrofie dle Scheltense [3], což může v klinické praxi zna- telně ušetřit čas při využití obou přístupů zároveň.

Zajímavé bude použít metodiku PAS k hodnocení MR mozků u pacientů s AN s časným začátkem a porovnat strukturu jejich parietální oblasti s kognitivně normálními osobami. Některé studie totiž pouka- zují na častější výskyt parietální atrofie u této formy AN [11,14–17].

Důležitou vlastností kvalitních vizuálních škál je jejich vysoká spolehlivost (reliabilita), která vyjadřuje míru shody mezi hodno- ceními různých hodnotitelů. Na téma parietální atrofie u AN s časným začátkem a spolehli- vosti škály PAS již připravujeme naše další sdělení.

Hlavní výhodou vizuální škály PAS je její jednoduchost a rychlost provedení bez po- třeba užití specializovaného softwaru. K je- jímu použití postačí prostý zrak, základní po- vědomí o struktuře mozku na MR a znalost

jednoduchých pravidel skórování. Tyto vlast- nosti by mohly z hodnocení PAS vytvářet vhodnou pomůcku pro klinickou praxi.

### Literatura

1. Bartoš A, Kukal J. Magnetická rezonance mozku u pacientů s Alzheimerovou chorobou. *Psychiatrie* 2005; 9 (Suppl 3): 39–42.
2. Harper L, Barkhof F, Scheltens P et al. An algorithmic approach to structural imaging in dementia. *J Neurol Neurosurg Psychiatry* 2014; 85(6): 692–698. doi: 10.1136/jnnp-2013-306285.
3. Scheltens P, Leys D, Barkhof F et al. Atrophy of medial temporal lobes on MRI in probable Alzheimers disease and normal aging: diagnostic-value and neuropsychological correlates. *J Neurol Neurosurg Psychiatry* 1992; 55(10): 967–972.
4. Ten Kate M, Barkhof F, Boccardi M et al. Task Force for the Roadmap of Alzheimer's Biomarkers. Clinical validity of medial temporal atrophy as a biomarker for Alzheimer's disease in the context of a structured 5-phase development framework. *Neurobiol Aging* 2017; 52: 167–182. doi: 10.1016/j.neurobiolaging.2016.05.024.
5. Bartoš A, Zach P, Diblíková F et al. Vizuální kategorizace mediotemporální atrofie na MR mozku u Alzheimerovy nemoci. *Psychiatrie* 2007; 11 (Suppl 3): 49–52.
6. Liu Y, Paajanen T, Zhang Y et al. Analysis of regional MRI volumes and thicknesses as predictors of conversion from mild cognitive impairment to Alzheimer's disease. *Neurobiol Aging* 2010, 31(8): 1375–1385. doi: 10.1016/j.neurobiolaging.2010.01.022.
7. Fennema-Notestine C, McEvoy LK, Hagler DJ et al. Structural neuroimaging in the detection and prognosis of pre-clinical and early AD. *Behav Neurol* 2009; 21(1): 3–12. doi: 10.3233/BEN-2009-0230.
8. Jack CR, Shiung MM, Gunter JL et al. Comparison of different MRI brain atrophy rate measures with clinical disease progression in AD. *Neurology* 2004; 62(4): 591–600.
9. Vemuri P, Jack CR. Role of structural MRI in Alzheimer's disease. *Alzheimers Res Ther* 2010; 2(4): 23. doi: 10.1186/alzrt47.
10. Pol LA, Hensel A, Flier WM et al. Hippocampal atrophy on MRI in frontotemporal lobar degeneration and Alzheimer's disease. *J Neurol Neurosurg Psychiatry* 2006; 77(4): 439–442. doi: 10.1136/jnnp.2005.075341.
11. Harper L, Fumagalli GG, Barkhof F et al. MRI visual rating scales in the diagnosis of dementia: evaluation in 184 post-mortem confirmed cases. *Brain* 2016; 139(Pt 4): 1211–1225. doi: 10.1093/brain/aww005.
12. Hu WT, Wang Z, Lee VM et al. Distinct cerebral perfusion patterns in FTLD and AD. *Neurology* 2010, 75(10): 881–888. doi: 10.1212/WNL.0b013e3181f1e35.
13. Landau SM, Harvey D, Madison CM et al. Associations between cognitive, functional, and FDG-PET measures of decline in AD and MCI. *Neurobiol Aging* 2011; 32(7): 1207–1218. doi: 10.1016/j.neurobiolaging.2009.07.002.
14. Lehmann M, Koedam EL, Barnes J et al. Posterior cerebral atrophy in the absence of medial temporal lobe atrophy in pathologically-confirmed Alzheimer's disease. *Neurobiol Aging* 2012; 33(3): 627.e1–627.e12. doi: 10.1016/j.neurobiolaging.2011.04.003.
15. Frisoni GB, Pievani M, Testa C et al. The topography of grey matter involvement in early and late onset Alzheimer's disease. *Brain* 2007; 130(Pt 3): 720–730. doi: 10.1093/brain/awl377.
16. Ishii K, Kawachi T, Sasaki H et al. Voxel-based morphometric comparison between early- and late-onset mild Alzheimer's disease and assessment of diagnostic performance of Z score images. *Am J Neuroradiol* 2005; 26(2): 333–340.
17. Shiino A, Watanabe T, Kitagawa T et al. Different atrophic patterns in early- and late-onset Alzheimer's disease and evaluation of clinical utility of a method of regional z-score analysis using voxel-based morphometry. *Dement Geriatr Cogn Disord* 2008; 26(2): 175–186. doi: 10.1159/000151241.
18. Šilhán D, Ibrahim I, Tintěra J et al. Parietální atrofický skór na magnetické rezonanci mozku u normálně stárnoucích osob. *Cesk Slov Neurol N* 2018; 81/114(4): 414–419. doi: 10.14735/amcsnn2018414.
19. McKhann GM, Knopman DS, Chertkow H et al. The diagnosis of dementia due to Alzheimer's disease: recommendations from the National Institute on Aging-Alzheimer's Association workgroups on diagnostic guidelines for Alzheimer's disease. *Alzheimers Dement* 2011; 7(3): 263–269. doi: 10.1016/j.jalz.2011.03.005.
20. Bartoš A. Netestuj, ale POBAV: písemné záměrné Pojmenování Obrázků A jejich Vybavení jako krátká kognitivní zkouška. *Cesk Slov Neurol N* 2016; 79/112(6), 671–679.
21. Bartoš A. Test gest (TEGEST) k rychlému vyšetření epizodické paměti u mírné kognitivní poruchy. *Cesk Slov Neurol N* 2018; 81/114(1): 37–44. doi: 10.14735/amcsnn201837.
22. Bartoš A, Janoušek M, Petroušová R et al. Tři časy Testu kreslení hodin hodnocené BaJa skórováním u časně Alzheimerovy nemoci. *Cesk Slov Neurol N* 2016; 79/112(4): 406–412.
23. Bartoš A, Raisová M. Testy a dotazníky pro vyšetřování kognitivních funkcí, nálady a soběstačnosti. Praha: Mladá fronta 2015.
24. Koedam EL, Lehman M, Van der Flier WM et al. Visual assessment of posterior atrophy development of a MRI rating scale. *Eur Radiol* 2011; 21(12): 2618–2625. doi: 10.1007/s00330-011-2205-4.

Impakt faktor časopisu Česká a slovenská neurologie a neurochirurgie pro rok 2017 činí **0,508** (nárůst oproti roku 2016, kdy impakt faktor činil **0,368**).